

скоростью  $\Delta\omega$ . В результате формируется т. н. эхо-импульс поляризации среды, достигающей максимума в момент времени  $t_1 = 2\Delta t$ , когда все осцилляторы оказываются вновь полностью синхронизированными. Импульс когерентного эл.-магн. излучения, порождаемый эхо-поляризацией среды, и называется фотонным или световым эхом.

Описанный процесс можно наглядно пояснить, используя векторную модель двухуровневой системы и считая, что площади импульсов 1 и 2 равны соответственно  $\theta_1 = \pi/2$  и  $\theta_2 = \pi$ . Полагаем, что

$$\theta_{1,2} = (d_{ba}/\hbar) \int_{-\infty}^{\infty} E_{1,2}(t) dt,$$

где  $d_{ba}$  — матричный элемент дипольного момента; см. *П-импульс*. Кроме того, полагаем, что  $\omega = \omega_0$  и длительности импульсов  $t_{1,2} \ll T_2, T_2^*$ , а следовательно, их воздействие на все излучатели одинаково. Тогда к концу первого импульса векторы Блоха  $R$ , представляющие состояния отдельных резонансных атомов, оказываются повернутыми на угол  $\pi/2$  и одинаково ориентированными вдоль оси 2 (рис. 2, a), так что «активная» составляющая макроскопич. поляризации достигает макс. величины. В дальнейшем в отсутствие электрич. поля возбуждающего импульса векторы Блоха отдельных атомов прецессируют вокруг оси 3 каждый со своей угл. скоростью, равной  $\Delta = \omega_0 - \omega_b$ , расходясь «веером» в плоскости 1—2 (рис. 2, б). Образование «веера» отражает процесс расфазировки излучателей.

Под действием второго импульса происходит поворот каждого из векторов  $R$  на  $180^\circ$  вокруг оси 1, в результате чего все фазы меняют знак (рис. 2, в). После окончания  $\pi$ -импульса векторы Блоха снова прецессируют вокруг оси 3 каждый со своей скоростью  $\Delta$ , однако на этот раз прецессия ведёт к «свертыванию веера»: в момент времени  $t$ , они оказываются опять одинаково ориентированными (рис. 2, г), что соответствует полной фазировке атомных излучателей.

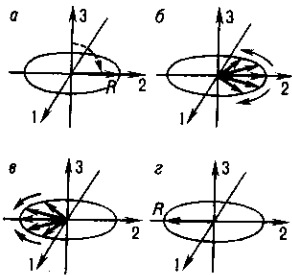


Рис. 2.

Расчёт интенсивности импульса Ф. з. при двухимпульсном возбуждении, основанный на ур-ниях для матрицы плотности ансамбля  $N$  двухуровневых систем, для случая  $t_{1,2} \ll T_2, T_2^*$  даёт

$$I_2(t) \sim I_0 N^2 \sin^2 \theta_1 \sin^4 \theta_2 \exp \left[ -\frac{4\Delta t}{T_2} - \frac{2(t - \Delta t)}{T_2^*} \right], \quad (*)$$

где  $I_0$  — интенсивность спонтанного испускания отдельного атома, функция распределения  $g(\omega_{ba} - \omega_0)$  предполагается гауссовой, а  $\omega = \omega_0$ . Интенсивность Ф. з. пропорциональна квадрату числа излучателей  $N$  — особенность, присущая эффектам коллективного испускания (см. *Сверхизлучение*, *Затухание свободной поляризации*). Из ф-лы (\*) видно также, что  $I_2$  достигает макс. величины при  $\theta_1 = \pi/2$  и  $\theta_2 = \pi$ , т. е. когда падающие импульсы являются  $\pi/2$ - и  $\pi$ -импульсами соответственно.

При увеличении времени задержки между импульсами  $\Delta t$  интенсивность эха экспоненциально уменьшается с постоянной временной  $T_2/4$ , что объясняется действием процессов необратимой релаксации.

Кроме рассмотренного выше простейшего случая т. н. двухимпульсного, или первичного, эха существует целый ряд др. разновидностей Ф. з., получаемых в зависимости от используемой последовательности подаваемых извне импульсов: индуцированное (стимулированное) эхо, многократное эхо, эхо Карра — Парселя и т. п.

В отличие от спинового эха, сигналы Ф. з. испускаются в строго определённых направлениях. Так, волновой вектор двухимпульсного эха  $k$ , определяется волновыми векторами первого  $k_1$  и второго  $k_2$  импульсов:  $k = 2k_2 - k_1$ .

Импульс индуцированного эха формируется последовательностью трёх импульсов и имеет волновой вектор  $k_k = k_3 + k_2 - k_1$ ; при  $k_3 = -k_2$  он распространяется в направлении, обратном  $k_1$ .

Форма огибающей импульсов эха зависит от соотношения между длительностью падающих импульсов и временемами  $T_2$  и  $T_2^*$ . Так, в предельном случае  $\tau_{1,2} \ll T_2, T_2^*$  форма импульса первичного эха является, по существу, временным фурье-образом спектрального распределения собств. частот  $g(\omega_{ba} - \omega_0)$ . В др. предельном случае  $T_2^* \ll \tau_1 \ll T_2$  возбуждение среды «запоминает» форму первого импульса и она может быть воспроизведена в форме т. н. обращённого эха, когда второй импульс имеет вид стоячей волны.

На форме импульса Ф. з. оказывается также структура энергетич. уровней: расщепление уровней приводит к соответствующей модуляции огибающей эха.

Состояние поляризации эхо-излучения определяется состоянием поляризации возбуждающих импульсов и типом квантового перехода в веществе.

Эффекты типа Ф. з. возможны и при многофотонном возбуждении квантовых переходов, когда определ. комбинация частот падающих импульсов совпадает с частотой соответствующего квантового перехода. В этом случае, однако, формирующийся макроскопич. эхо-отклик среды может оказаться неизлучающим вследствие правил отбора (см. *Многофотонные процессы*, *Многофотонное поглощение*). Для его наблюдения можно использовать дополнительное (пробное) излучение, в поле к-рого эхо-отклик вовлекается в процесс параметрич. смещения частот.

Для наблюдения Ф. з. используются в осн. метод возбуждения соответствующей последовательностью коротких лазерных импульсов и метод штарковского переключения частоты квантового перехода короткими импульсами эл.-статич. поля (см. *Штарка эффект*), настраивавшими частоту перехода в резонанс с непрерывным лазерным излучением.

Применения Ф. з. весьма разнообразны. Оно используется в *нелинейной спектроскопии* для измерения времён релаксации, исследования тонкой и сверхтонкой структур квантовых уровней энергии, изучения параметров столкновений в газах, идентификации типов квантовых переходов и т. д. Перспективны приложения эффектов Ф. з. в *динамической голограммии*, в системах *оптической обработки информации*, в частности в системах оперативной памяти в *оптических компьютерах*, и т. д.

*Лит.*: Аллен Л., Эберли Дж., Оптический резонанс и двухуровневые атомы, пер. с англ., М., 1978; Шумейкер Р., Когерентная инфракрасная спектроскопия нестационарных процессов, в кн.: Лазерная и когерентная спектроскопия, пер. с англ., М., 1982; Маныкин Э. А., Самарцев В. В., Оптическая эхо-спектроскопия, М., 1984.

К. Н. Драбович.

**ФОТОПРОВОДИМОСТЬ** (фоторезистивный эффект) — изменение электропроводности среды, обусловленное действием эл.-магн. излучения. Ярко выражена в полупроводниках и диэлектриках. Впервые наблюдалась У. Смитом (W. Smith, 1873) в аморфном Si (см. *Аморфные и стеклообразные полупроводники*). Ф. возникает из-за изменения либо концентрации носителей заряда (концентрационная Ф.), либо их подвижности под действием излучения (см. *Подвижность носителей заряда*). В зависимости от механизма поглощения излучения различают Ф. собственную, примесную и внутризонную.

**Собственная и примесная фотопроводимость.** В основе собств. и примесной Ф. лежит внутр. фотоэффект, т. е. либо оптич. генерация пар электрон — дырка (при собственной Ф.), либо фотоудаление носителя заряда от заряженного центра (при примесной Ф.). Генерируемые при внутр. фотоэффекте свободные носители заряда наз. фотоносителями.

Изменение уд. электропроводности однородного полупроводника под действием излучения равно

$$\Delta\sigma = e(\mu_n \Delta n + \mu_p \Delta p),$$

где  $\Delta n, \Delta p$  — изменения концентраций электронов проводи-